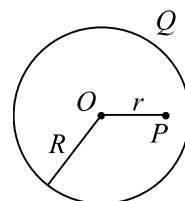


# 一. 选择题

1. 下列几个说法中哪一个是正确的?

- (A) 电场中某点场强的方向, 就是将点电荷放在该点所受电场力的方向.
  - (B) 在以点电荷为中心的球面上, 由该点电荷所产生的场强处处相同.
  - (C) 场强可由  $\vec{E} = \vec{F}/q$  定出, 其中  $q$  为试验电荷,  $q$  可正、可负,  $\vec{F}$  为试验电荷所受的电场力.
  - (D) 以上说法都不正确.
- [           ]

2. 如图所示, 半径为  $R$  的均匀带电球面, 总电荷为  $Q$ , 设无穷远处的电势为零, 则球内距离球心为  $r$  的  $P$  点处的电场强度的大小和电势为:



- (A)  $E=0, U = \frac{Q}{4\pi\epsilon_0 R}.$
  - (B)  $E=0, U = \frac{Q}{4\pi\epsilon_0 r}.$
  - (C)  $E = \frac{Q}{4\pi\epsilon_0 r^2}, U = \frac{Q}{4\pi\epsilon_0 r}.$
  - (D)  $E = \frac{Q}{4\pi\epsilon_0 r^2}, U = \frac{Q}{4\pi\epsilon_0 R}.$
- [           ]

3. 根据高斯定理的数学表达式  $\oint_S \vec{E} \cdot d\vec{S} = \sum q/\epsilon_0$  可知下述各种说法中, 正确的是:

- (A) 闭合面内的电荷代数和为零时, 闭合面上各点场强一定为零.
  - (B) 闭合面内的电荷代数和不为零时, 闭合面上各点场强一定处处不为零.
  - (C) 闭合面内的电荷代数和为零时, 闭合面上各点场强不一定处处为零.
  - (D) 闭合面上各点场强均为零时, 闭合面内一定处处无电荷.
- [           ]

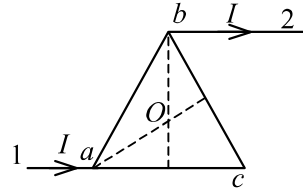
4. 选无穷远处为电势零点, 半径为  $R$  的导体球带电后, 其电势为  $U_0$ , 则球内离球心距离为  $r$  处的电场强度的大小为

- (A) 0.
  - (B)  $\frac{U_0}{r}.$
  - (C)  $\frac{RU_0}{r^2}.$
  - (D)  $\frac{U_0}{R}.$
- [           ]

5. 一导体球外充满相对介电常量为  $\epsilon_r$  的均匀电介质, 若测得导体表面附近场强为  $E$ , 则导体球面上的自由电荷面密度  $\sigma$  为

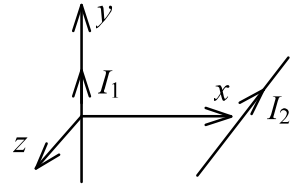
- (A)  $\epsilon_0 E.$
  - (B)  $\epsilon_0 \epsilon_r E.$
  - (C)  $\epsilon_r E.$
  - (D)  $(\epsilon_0 \epsilon_r - \epsilon_0)E.$
- [           ]

6. 边长为  $l$ , 由电阻均匀的导线构成的正三角形导线框  $abc$ , 通过彼此平行的长直导线 1 和 2 与电源相连, 导线 1 和 2 分别与导线框在  $a$  点和  $b$  点相接, 导线 1 和线框的  $ac$  边的延长线重合. 导线 1 和 2 上的电流为  $I$ , 如图所示. 令长直导线 1、2 和导线框中电流在线框中心  $O$  点产生的磁感强度分别为  $\vec{B}_1$ 、 $\vec{B}_2$  和  $\vec{B}_3$ , 则  $O$  点的磁感强度大小



- (A)  $B = 0$ , 因为  $B_1 = B_2 = B_3 = 0$ .  
 (B)  $B = 0$ , 因为  $\vec{B}_1 + \vec{B}_2 = 0$ ,  $B_3 = 0$   
 (C)  $B \neq 0$ , 因为虽然  $\vec{B}_1 + \vec{B}_2 = 0$ , 但  $B_3 \neq 0$ .  
 (D)  $B \neq 0$ , 因为虽然  $B_3 = 0$ , 但  $\vec{B}_1 + \vec{B}_2 \neq 0$ .  
 [       ]

7. 两根无限长载流直导线相互正交放置, 如图所示.  $I_1$  沿  $y$  轴的正方向,  $I_2$  沿  $z$  轴负方向. 若载流  $I_1$  的导线不能动, 载流  $I_2$  的导线可以自由运动, 则载流  $I_2$  的导线开始运动的趋势是

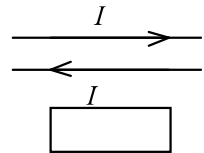


- (A) 绕  $x$  轴转动.                      (B) 沿  $x$  方向平动.  
 (C) 绕  $y$  轴转动.                      (D) 无法判断.  
 [       ]

8. 磁介质有三种, 用相对磁导率  $\mu_r$  表征它们各自的特性时,

- (A) 顺磁质  $\mu_r > 0$ , 抗磁质  $\mu_r < 0$ , 铁磁质  $\mu_r \gg 1$ .  
 (B) 顺磁质  $\mu_r > 1$ , 抗磁质  $\mu_r = 1$ , 铁磁质  $\mu_r \gg 1$ .  
 (C) 顺磁质  $\mu_r > 1$ , 抗磁质  $\mu_r < 1$ , 铁磁质  $\mu_r \gg 1$ .  
 (D) 顺磁质  $\mu_r < 0$ , 抗磁质  $\mu_r < 1$ , 铁磁质  $\mu_r > 0$ .  
 [       ]

9. 两根无限长平行直导线载有大小相等方向相反的电流  $I$ , 并各以  $dI/dt (> 0)$  的变化率增长, 一矩形线圈位于导线平面内(如图), 则:



- (A) 线圈中无感应电流.  
 (B) 线圈中感应电流为顺时针方向.  
 (C) 线圈中感应电流为逆时针方向.  
 (D) 线圈中感应电流方向不确定.  
 [       ]

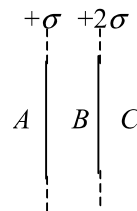
10. 在感应电场中电磁感应定律可写成  $\oint_L \vec{E}_K \cdot d\vec{l} = -\frac{d\Phi}{dt}$ , 式中  $\vec{E}_K$  为感应电场的电场强度. 此式表明:

- (A) 闭合曲线  $L$  上  $\vec{E}_K$  处处相等.  
 (B) 感应电场是保守力场.  
 (C) 感应电场的电场强度线不是闭合曲线.  
 (D) 在感应电场中不能像对静电场那样引入电势的概念.  
 [       ]

## 二. 填空题

1. 两个平行的“无限大”均匀带电平面，其电荷面密度分别为 $+\sigma$ 和 $+2\sigma$ ，如图

所示，则  $A$ 、 $B$ 、 $C$  三个区域的电场强度分别为：  
 $E_A =$  \_\_\_\_\_， $E_B =$  \_\_\_\_\_，  
 $E_C =$  \_\_\_\_\_ (设方向向右为正).

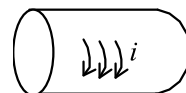


2. 静电场的环路定理的数学表示式为：\_\_\_\_\_。该式的物理意义是：

\_\_\_\_\_。  
 该定理表明，静电场是\_\_\_\_\_场。

3. 一平行板电容器，充电后与电源保持联接，然后使两极板间充满相对介电常量为 $\epsilon_r$ 的各向同性均匀电介质，这时两极板上的电荷是原来的\_\_\_\_\_倍；电场强度是原来的\_\_\_\_\_倍；电场能量是原来的\_\_\_\_\_倍。

5. 图中所示的一无限长直圆筒，沿圆周方向上的面电流密度(单位垂直长度上流过的电流)为 $i$ ，则圆筒内部的磁感强度的大小为 $B =$ \_\_\_\_\_，方向\_\_\_\_\_。

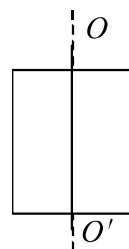


6. 一带电粒子平行磁感线射入匀强磁场，则它作\_\_\_\_\_运动。  
 一带电粒子垂直磁感线射入匀强磁场，则它作\_\_\_\_\_运动。  
 一带电粒子与磁感线成任意交角射入匀强磁场，则它作\_\_\_\_\_运动。

7. 在国际单位制中，磁场强度 $H$ 的单位是\_\_\_\_\_，磁导率 $\mu$ 的单位是\_\_\_\_\_。

8. 一根直导线在磁感强度为 $\vec{B}$ 的均匀磁场中以速度 $\vec{v}$ 运动切割磁力线。导线中对应于非静电力的场强(称作非静电场场强) $\vec{E}_K =$ \_\_\_\_\_。

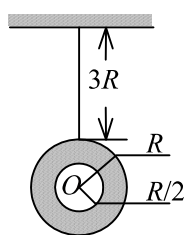
9. 有一根无限长直导线绝缘地紧贴在矩形线圈的中心轴 $OO'$ 上，  
 则直导线与矩形线圈间的互感系数为\_\_\_\_\_。



10. 一平行板空气电容器的两极板都是半径为 $R$ 的圆形导体片，在充电时，板间电场强度的变化率为 $dE/dt$ 。若略去边缘效应，则两板间的位移电流为\_\_\_\_\_。

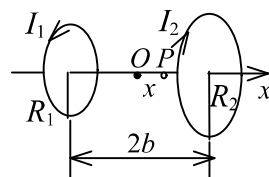
### 三. 计算题

1. 一环形薄片由细绳悬吊着, 环的外半径为  $R$ , 内半径为  $R/2$ , 并有电荷  $Q$  均匀分布在环面上. 细绳长  $3R$ , 也有电荷  $Q$  均匀分布在绳上, 如图所示, 试求圆环中心  $O$  处的电场强度(圆环中心在细绳延长线上).

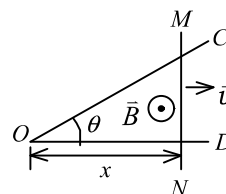


2. 一圆柱形电容器, 外柱的直径为  $4\text{ cm}$ , 内柱的直径可以适当选择, 若其间充满各向同性的均匀电介质, 该介质的击穿电场强度的大小为  $E_0 = 200\text{ KV/cm}$ . 试求该电容器可能承受的最高电压. (自然对数的底  $e = 2.7183$ )

3. 如图两共轴线圈, 半径分别为  $R_1$ 、 $R_2$ , 电流为  $I_1$ 、 $I_2$ . 电流的方向相反, 求轴线上相距中点  $O$  为  $x$  处的  $P$  点的磁感强度.



4. 如图所示, 有一弯成  $\theta$  角的金属架  $COD$  放在磁场中, 磁感强度  $\vec{B}$  的方向垂直于金属架  $COD$  所在平面. 一导体杆  $MN$  垂直于  $OD$  边, 并在金属架上以恒定速度  $\vec{v}$  向右滑动,  $\vec{v}$  与  $MN$  垂直. 设  $t=0$  时,  $x=0$ . 求下列两情形, 框架内的感应电动势  $\mathcal{E}_i$ .



(1) 磁场分布均匀, 且  $\vec{B}$  不随时间改变.

(2) 非均匀的时变磁场  $B = Kx \cos \omega t$ . ( $K, \omega$  为常数)

### 参考答案

#### 一. 选择题

1.[C] 2.[A] 3.[C] 4.[A] 5.[B] 6.[D] 7.[A] 8.[C] 9.[B] 10.[D]

#### 二. 填空题

1.  $-3\sigma/(2\epsilon_0)$  ;  $-\sigma/(2\epsilon_0)$  ;  $3\sigma/(2\epsilon_0)$

2.  $\oint_L \vec{E} \cdot d\vec{l} = 0$  ; 单位正电荷在静电场中沿任意闭合路径绕行一周, 电场力做功等

于零 ; 有势 (或保守力)

3.  $\epsilon_r$  ; 1 ;  $\epsilon_r$

5.  $\mu_0 i$  ; 沿轴线方向朝右

6. 匀速直线 ; 匀速率圆周 ; 等距螺旋线

7.  $\text{A/m}$  ;  $\text{T} \cdot \text{m/A}$  8.  $\vec{v} \times \vec{B}$

9. 0 10.  $\epsilon_0 \pi R^2 dE/dt$

### 三. 计算题

1. 解: 先计算细绳上的电荷在  $O$  点产生的场强. 选细绳顶端作坐标原点  $O$ ,  $x$  轴向下为正. 在  $x$  处取一电荷元

$$dq = \lambda dx = Qdx/(3R)$$

它在环心处的场强为

$$\begin{aligned} dE_1 &= \frac{dq}{4\pi\epsilon_0(4R-x)^2} \\ &= \frac{Qdx}{12\pi\epsilon_0 R(4R-x)^2} \end{aligned}$$

整个细绳上的电荷在环心处的场强

$$E_1 = \frac{Q}{12\pi\epsilon_0 R} \int_0^{3R} \frac{dx}{(4R-x)^2} = \frac{Q}{16\pi\epsilon_0 R^2}$$

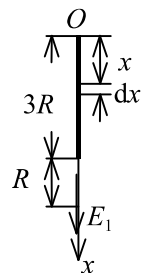
圆环上的电荷分布对环心对称, 它在环心处的场强

$$E_2=0$$

由此, 合场强

$$\vec{E} = E_1 \vec{i} = \frac{Q}{16\pi\epsilon_0 R^2} \vec{i}$$

方向竖直向下.



2. 解: 设圆柱形电容器单位长度上带有电荷为  $\lambda$ , 则电容器两极板之间的场强分布为

$$E = \lambda / (2\pi\epsilon r)$$

设电容器内外两极板半径分别为  $r_0$ ,  $R$ , 则极板间电压为

$$U = \int_{r_0}^R \vec{E} \cdot d\vec{r} = \int_{r_0}^R \frac{\lambda}{2\pi\epsilon r} dr = \frac{\lambda}{2\pi\epsilon} \ln \frac{R}{r_0}$$

电介质中场强最大处在内柱面上, 当这里场强达到  $E_0$  时电容器击穿, 这时应有

$$\lambda = 2\pi\epsilon r_0 E_0$$

$$U = r_0 E_0 \ln \frac{R}{r_0}$$

适当选择  $r_0$  的值, 可使  $U$  有极大值, 即令

$$dU/dr_0 = E_0 \ln(R/r_0) - E_0 = 0$$

得

$$r_0 = R/e$$

显然有  $\frac{d^2 U}{dr_0^2} < 0$ , 故当  $r_0 = R/e$  时电容器可承受最高的电压

$$U_{\max} = RE_0 / e = 147 \text{ kV}$$

3. 解: 取  $x$  轴向右, 那么有

$$B_1 = \frac{\mu_0 R_1^2 I_1}{2[R_1^2 + (b+x)^2]^{3/2}} \quad \text{沿 } x \text{ 轴正方向}$$

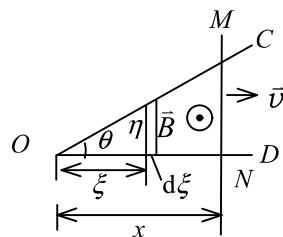
$$B_2 = \frac{\mu_0 R_2^2 I_2}{2[R_2^2 + (b-x)^2]^{3/2}} \quad \text{沿 } x \text{ 轴负方向}$$

$$B = B_1 - B_2 = \frac{\mu_0}{2} \left[ \frac{\mu_0 R_1^2 I_1}{[R_1^2 + (b+x)^2]^{3/2}} - \frac{\mu_0 R_2^2 I_2}{[R_2^2 + (b-x)^2]^{3/2}} \right]$$

若  $B > 0$ , 则  $\vec{B}$  方向为沿  $x$  轴正方向. 若  $B < 0$ , 则  $\vec{B}$  的方向为沿  $x$  轴负方向.

4. 解: (1) 由法拉第电磁感应定律:

$$\begin{aligned}\Phi &= B \frac{1}{2} xy \quad y = \operatorname{tg} \theta x \quad x = vt \\ \varepsilon_i &= -\frac{d\Phi}{dt} = -\frac{d}{dt} \left( \frac{1}{2} B \operatorname{tg} \theta x^2 \right) \\ &= -\frac{1}{2} B \operatorname{tg} \theta 2x \frac{dx}{dt} = B \operatorname{tg} \theta v^2 t\end{aligned}$$



在导体  $MN$  内  $\perp_i$  方向由  $M$  向  $N$ .

(2) 对于非均匀时变磁场  $B = Kx \cos \omega t$

取回路绕行的正向为  $O \rightarrow N \rightarrow M \rightarrow O$ , 则

$$\begin{aligned}d\Phi &= B dS = B \eta d\xi \quad \eta = \xi \operatorname{tg} \theta \\ d\Phi &= B \xi \operatorname{tg} \theta d\xi = K \xi^2 \cos \omega t \operatorname{tg} \theta d\xi \\ \Phi &= \int d\Phi = \int_0^x K \xi^2 \cos \omega t \operatorname{tg} \theta d\xi = \frac{1}{3} K x^3 \cos \omega t \operatorname{tg} \theta \\ \varepsilon_i &= -\frac{d\Phi}{dt} = \frac{1}{3} K \omega x^3 \sin \omega t \operatorname{tg} \theta - K x^2 v \cos \omega t \operatorname{tg} \theta \\ &= K v^3 \operatorname{tg} \theta \left( \frac{1}{3} \omega t^3 \sin \omega t - t^2 \cos \omega t \right)\end{aligned}$$

$\varepsilon_i > 0$ , 则  $\varepsilon_i$  方向与所设绕行正向一致,  $\varepsilon_i < 0$ , 则  $\varepsilon_i$  方向与所设绕行正向相反.